

03

Вычисление потоков массы газа и тепла в канале прямоугольного сечения в свободномолекулярном режиме

© О.В. Гермидер, В.Н. Попов, А.А. Юшканов

Северный (Арктический) федеральный университет им. М.В. Ломоносова,
163002 Архангельск, Россия
e-mail: v.popov@narfu.ru

(Поступило в Редакцию 16 июня 2015 г. В окончательной редакции 12 октября 2015 г.)

В рамках свободномолекулярного режима решена задача о тепло-массопереносе в длинном канале постоянного прямоугольного сечения. Найдены распределения массовой скорости газа и вектора потока тепла по поперечному сечению канала. Вычислены удельные потоки массы газа и тепла. Проведено сравнение с аналогичными результатами, полученными для режимов течения, близких к свободномолекулярным.

Введение

Одной из важнейших в прикладном значении задач динамики разреженного газа является задача о течении газа в канале [1]. Строгое решение этой задачи должно получаться в результате интегрирования кинетического уравнения Больцмана (или системы уравнений Больцмана, если газ состоит из молекул разной природы) при соответствующих граничных и начальных условиях. После того как найдена функция распределения, с помощью квадратур определяются любые макроскопические величины. Уравнение Больцмана представляет собой сложное нелинейное интегро-дифференциальное уравнение, точное решение которого в общем случае получить не удастся [2]. Однако если газ настолько разрежен, что столкновениями молекул между собой можно пренебречь, задача сводится к определению траекторий частиц, которые взаимодействуют только со стенками, ограничивающими объем газа, и не соударяются между собой [2]. Режим, при котором отсутствует влияние столкновений молекул газа между собой на функцию распределения (и следовательно, и на процессы течения, теплообмена), называют свободномолекулярным [1]. Для описания течений газа в свободномолекулярном режиме в уравнении Больцмана можно не учитывать интеграл столкновений. В этом случае уравнение Больцмана переходит в линейное однородное дифференциальное уравнение с частными производными, решение которого может быть получено аналитически с использованием метода характеристик. К настоящему времени опубликовано значительное число работ, посвященных исследованию течений газа в каналах, стенки которых образованы двумя бесконечными параллельными плоскостями, список которых можно найти в [1], [3–6]. Однако в последнее время в связи с развитием микро- и нанотехнологий все больше внимания уделяется рассмотрению течений газа в каналах произвольного поперечного сечения. Так, например, в [7] и [8] рассматривалось течение разреженного газа соответственно в канале прямоугольного и треугольного сечений, в [9–11] — в канале цилиндрического сечения, в [12] — в зазоре между двумя

концентрическими цилиндрами, в [13] — в канале эллиптического сечения. Цель настоящей работы состоит в применении аналитических методов, разработанных в [14], для решения задачи о вычислении в рамках свободномолекулярного режима потока тепла в канале постоянного прямоугольного сечения при наличии продольного градиента температуры.

Вывод основных уравнений. Построение функции распределения

Рассмотрим канал прямоугольного сечения, стенки которого расположены в плоскостях $x' = \pm a'/2$ и $y' = \pm b'/2$ прямоугольной декартовой системы координат, а ось симметрии канала совпадает с осью Oz' . Предположим, что в канале поддерживается постоянный градиент температуры, направленный вдоль оси Oz' . Предположим, что средняя длина свободного пробега молекул газа l_g много больше поперечных размеров канала. Тогда, пренебрегая столкновениями молекул между собой, кинетическое уравнение Больцмана в выбранной системе координат запишем в виде

$$v_x \frac{\partial f}{\partial x'} + v_y \frac{\partial f}{\partial y'} + v_z \frac{\partial f}{\partial z'} = 0. \quad (1)$$

Здесь \mathbf{v} — скорость молекул газа. Решение уравнения (1) ищем в виде

$$f(\mathbf{r}', \mathbf{v}) = n(z) \left(\frac{m}{2\pi k_B T(z)} \right)^{3/2} \exp\left(-\frac{mv^2}{2k_B T(z)}\right) \times [1 + Z_0(x, y, \mathbf{C})]. \quad (2)$$

Здесь $\mathbf{C} = \beta^{1/2} \mathbf{v}$ — безразмерная скорость молекул газа, $\beta = m/2k_B T_0$, m — масса молекулы газа, k_B — постоянная Больцмана, T_0 — температура газа в некоторой точке, принятой за начало координат, $x = x'/a'$, $y = y'/a'$, $z = z'/a'$ — координаты безразмерного радиуса-вектора, $Z_0(x, y, \mathbf{C})$ — линейная поправка к

локально-равновесной функции распределения, учитывающая влияние стенок. Будем считать относительный перепад температуры на длине свободного пробега молекул газа малым. В этом случае в линейном приближении можем записать $T(z) = T_0(1 + G_T z)$, где G_T — безразмерный градиент температуры. Тогда в предположении постоянства давления из равенства $p(z) = n(z)k_B T(z) = \text{const}$, находим $n(z) = n_0(1 - G_T z)$. Здесь n_0 — концентрация молекул газа в начале координат. С учетом сказанного соотношение (2) в линейном приближении перепишем в виде

$$f(\mathbf{r}', \mathbf{v}) = f(C) \left[1 + G_T \left(C^2 - \frac{5}{2} \right) z + Z_0(x, y, \mathbf{C}) \right]. \quad (3)$$

Здесь $f(C) = n_0(\beta/\pi)^{3/2} \exp(-C^2)$ — абсолютный максимум. Функцию $Z_0(x, y, \mathbf{C})$ ищем в виде

$$Z_0(x, y, \mathbf{C}) = C_z G_T \left(C^2 - \frac{5}{2} \right) Z(x, y, C_x, C_y).$$

С учетом сказанного выражение (3) примет вид

$$f(\mathbf{r}', \mathbf{v}) = f(C) \left[1 + G_T \left(C^2 - \frac{5}{2} \right) \times (z + C_z Z(x, y, C_x, C_y)) \right]. \quad (4)$$

Подставляя (4) в (1), приходим к уравнению

$$C_x \frac{\partial Z}{\partial x} + C_y \frac{\partial Z}{\partial y} + 1 = 0. \quad (5)$$

В качестве граничного условия на стенках канала будем использовать модель диффузного отражения. Тогда, учитывая, что

$$f(\mathbf{r}', \mathbf{v})|_s = f(C) \left[1 + G_T z \left(C^2 - \frac{5}{2} \right) \right],$$

находим

$$Z(x, y, C_x, C_y)|_s = 0$$

или в развернутом виде

$$Z(x; y; C_x; C_y) = 0, \quad x = \pm \frac{a}{2}, \quad -\frac{b}{2} \leq y \leq \frac{b}{2}, \quad x C_x < 0, \quad (6)$$

$$Z(x; y; C_x; C_y) = 0, \quad y = \pm \frac{b}{2}, \quad -\frac{a}{2} \leq x \leq \frac{a}{2}, \quad y C_y < 0. \quad (7)$$

Решение уравнения (5) с граничными условиями (6), (7) ищем методом характеристик [15]. Система уравнений характеристик уравнения (5) имеет вид

$$\frac{dx}{C_x} = \frac{dy}{C_y} = -\frac{dZ}{1} = dt. \quad (8)$$

Интегрируя систему уравнений (8), находим

$$x = x_0 + C_x t, \quad y = y_0 + C_y t,$$

$$Z(x; y; C_x; C_y) = -t. \quad (9)$$

Для удобства дальнейших вычислений перейдем в пространстве скоростей к цилиндрической системе координат, полагая

$$C_x = \rho \cos \varphi, \quad C_y = \rho \sin \varphi, \quad C_z = C_z, \quad \rho^2 + C_z^2 = C^2.$$

Тогда с учетом (6) и (7) значения параметра t при отражении от стенок канала имеют вид

$$t_1 = \frac{2x - a}{2\rho \cos \varphi}, \quad \cos \varphi < 0 \quad \text{— на правой стенке } x_0 = \frac{a}{2}, \quad (10)$$

$$t_2 = \frac{2y - b}{2\rho \sin \varphi}, \quad \sin \varphi < 0 \quad \text{— на верхней стенке } y_0 = \frac{b}{2}, \quad (11)$$

$$t_3 = \frac{2x + a}{2\rho \cos \varphi}, \quad \cos \varphi > 0 \quad \text{— на левой стенке } x_0 = -\frac{a}{2}, \quad (12)$$

$$t_4 = \frac{2y + b}{2\rho \sin \varphi}, \quad \sin \varphi > 0 \quad \text{— на нижней стенке } y_0 = -\frac{b}{2}. \quad (13)$$

Соотношения (9)–(13) полностью определяют решение уравнения (5) с граничными условиями (6), (7).

Вычисление макропараметров газа в канале

С учетом полученных результатов находим z -компоненты векторов потока тепла $q'_z(x, y)$ и массовой скорости газа $u_z(x, y)$. Исходя из статистического смысла функции распределения, находим [4]

$$q'_z(x, y) = \frac{m}{2} \int (v_z - u_z(x, y)) |\mathbf{v} - \mathbf{u}(x, y)|^2 f(\mathbf{r}', \mathbf{v}) d^3 \mathbf{v} = \frac{n_0 k_B T_0 G_T}{\beta_0^{1/2}} q_z(x, y),$$

$$u_z(x, y) = \frac{1}{n(z)} \int v_z f(\mathbf{r}', \mathbf{v}) d^3 \mathbf{v} = \beta_0^{1/2} G_T U_z(x, y).$$

Здесь

$$q_z(x, y) = \frac{1}{\pi^{3/2}} \int \exp(-C^2) C_z^2 \left(C^2 - \frac{5}{2} \right)^2 Z(x, y, C_x, C_y) \times d^3 \mathbf{C} = \frac{1}{\pi^{3/2}} \sum_{k=0}^3 \int_0^{+\infty} \exp(-\rho^2) \rho d\rho \int_{-\infty}^{+\infty} \exp(-C_z^2) \times C_z^2 \left(\rho^2 + C_z^2 - \frac{5}{2} \right)^2 dC_z \int_{\varphi_k}^{\varphi_{k+1}} (-t_{k+1}) d\varphi = -\frac{9}{32\sqrt{\pi}} \times \left[\int_{\varphi_0}^{\varphi_1} \frac{2x - a}{\cos \varphi} d\varphi + \int_{\varphi_1}^{\varphi_2} \frac{2y - b}{\sin \varphi} d\varphi + \int_{\varphi_2}^{\varphi_3} \frac{2x + a}{\cos \varphi} d\varphi + \int_{\varphi_3}^{\varphi_4} \frac{2y + b}{\sin \varphi} d\varphi \right], \quad (14)$$

$$\begin{aligned}
 U_z(x, y) &= \frac{1}{\pi^{3/2}} \int \exp(-C^2) C_z^2 \left(C^2 - \frac{5}{2} \right) Z(x, y, C_x, C_y) \\
 &\times d^3\mathbf{C} = \frac{1}{\pi^{3/2}} \sum_{k=0}^3 \int_0^{+\infty} \exp(-\rho^2) \rho d\rho \int_{-\infty}^{+\infty} \exp(-C_z^2) \\
 &\times C_z^2 \left(\rho^2 + C_z^2 - \frac{5}{2} \right)^2 dC_z \int_{\varphi_k}^{\varphi_{k+1}} (-t_{k+1}) d\varphi = -\frac{1}{16\sqrt{\pi}} \\
 &\times \left[\int_{\varphi_0}^{\varphi_1} \frac{2x-a}{\cos \varphi} d\varphi + \int_{\varphi_1}^{\varphi_2} \frac{2y-b}{\sin \varphi} d\varphi + \int_{\varphi_2}^{\varphi_3} \frac{2x+a}{\cos \varphi} d\varphi \right. \\
 &\left. + \int_{\varphi_3}^{\varphi_4} \frac{2y+b}{\sin \varphi} d\varphi \right] \quad (15)
 \end{aligned}$$

соответственно z -компоненты безразмерных векторов потоков. Границы интегрирования φ_k в интегралах, входящих в (14) и (15), определяются из условий (10)–(13). Учитывая, что для правого нижнего угла канала должны одновременно выполняться условия (10) и (13), приходим к равенству $\frac{2x-a}{\cos \varphi_0} = \frac{2y+b}{\sin \varphi_0}$, из которого следует, что

$$\begin{aligned}
 \cos \varphi_0 &= \frac{2x-a}{\sqrt{(2x-a)^2 + (2y+b)^2}}, \\
 \sin \varphi_0 &= \frac{2y+b}{\sqrt{(2x-a)^2 + (2y+b)^2}}.
 \end{aligned}$$

Аналогичным образом находим косинусы и синусы углов, соответствующих правому верхнему углу канала

$$\begin{aligned}
 \cos \varphi_1 &= \frac{2x-a}{\sqrt{(2x-a)^2 + (2y-b)^2}}, \\
 \sin \varphi_1 &= \frac{2y-b}{\sqrt{(2x-a)^2 + (2y-b)^2}},
 \end{aligned}$$

левому верхнему

$$\begin{aligned}
 \cos \varphi_2 &= \frac{2x+a}{\sqrt{(2x+a)^2 + (2y-b)^2}}, \\
 \sin \varphi_2 &= \frac{2y-b}{\sqrt{(2x+a)^2 + (2y-b)^2}},
 \end{aligned}$$

левому нижнему

$$\begin{aligned}
 \cos \varphi_3 &= \frac{2x+a}{\sqrt{(2x+a)^2 + (2y+b)^2}}, \\
 \sin \varphi_3 &= \frac{2y+b}{\sqrt{(2x+a)^2 + (2y+b)^2}}.
 \end{aligned}$$

Двигаясь далее в направлении возрастания угла φ , находим $\cos \varphi_4 = \cos \varphi_0$, $\sin \varphi_4 = \sin \varphi_0$. Вычислим с учетом полученных выражений первый интеграл в (14) и (15)

$$\begin{aligned}
 W_1 &= \int_{\varphi_0}^{\varphi_1} \frac{d\varphi}{\cos \varphi} = \frac{1}{2} \ln \frac{1 + \sin \varphi}{1 - \sin \varphi} \Big|_{\varphi_0}^{\varphi_1} \\
 &= \ln \frac{\sqrt{(2x-a)^2 + (2y-b)^2} + 2y-b}{\sqrt{(2x-a)^2 + (2y+b)^2} + 2y+b}.
 \end{aligned}$$

Аналогичным образом вычисляются и остальные интегралы в (14) и (15)

$$\begin{aligned}
 W_2 &= \int_{\varphi_1}^{\varphi_2} \frac{d\varphi}{\sin \varphi} = \ln \frac{\sqrt{(2x-a)^2 + (2y-b)^2} + 2x-a}{\sqrt{(2x+a)^2 + (2y-b)^2} + 2x+a}, \\
 W_3 &= \int_{\varphi_2}^{\varphi_3} \frac{d\varphi}{\cos \varphi} = \ln \frac{\sqrt{(2x+a)^2 + (2y+b)^2} + 2y+b}{\sqrt{(2x+a)^2 + (2y-b)^2} + 2y-b}, \\
 W_4 &= \int_{\varphi_3}^{\varphi_4} \frac{d\varphi}{\sin \varphi} = \ln \frac{\sqrt{(2x+a)^2 + (2y+b)^2} + 2x+a}{\sqrt{(2x-a)^2 + (2y+b)^2} + 2x-a}.
 \end{aligned}$$

Таким образом, с учетом полученных результатов

$$\begin{aligned}
 q_z(x, y) &= -\frac{9}{32\sqrt{\pi}} [(2x-a)W_1 + (2y-b)W_2 \\
 &+ (2x+a)W_3 + (2y+b)W_4], \quad (16)
 \end{aligned}$$

$$U_z(x, y) = -\frac{2}{9} q_z(x, y). \quad (17)$$

Потоки массы газа M и тепла Q через поперечное сечение канала определяются двойными интегралами

$$\begin{aligned}
 M &= m \int_{-a'/2}^{a'/2} \int_{-b'/2}^{b'/2} u_z(x, y) dx' dy' = \frac{4ma'^2 G_T}{\beta_0^{1/2}} \\
 &\times \int_0^{a/2} \int_0^{b/2} U_z(x, y) dx dy,
 \end{aligned}$$

$$\begin{aligned}
 Q &= \int_{-a'/2}^{a'/2} \int_{-b'/2}^{b'/2} q'_z(x, y) dx' dy' = \frac{8n_0 k_B T_0 G_T a'^2}{\beta_0^{1/2}} \\
 &\times \int_0^{a/2} \int_0^{b/2} q_z(x, y) dx dy.
 \end{aligned}$$

Удельные потоки массы газа и тепла рассчитаем согласно формулам, приведенным в [12],

$$J'_M = \frac{2M}{a'b'^2} = \frac{mG_T}{a'\beta_0^{1/2}} J_M, \quad J'_Q = -\frac{2Q}{a'b'^2} = \frac{2n_0 k_B T_0 G_T}{a'\beta_0^{1/2}} J_Q.$$

Здесь

$$J_M = \frac{8}{a^2 b} \int_0^{a/2} \int_0^{b/2} U_z(x, y) dx dy,$$

$$J_Q = -\frac{8}{a^2 b} \int_0^{a/2} \int_0^{b/2} q_z(x, y) dx dy. \quad (18)$$

Подставляя (16) и (17) в (18), находим

$$J_Q = \frac{9}{4\sqrt{\pi}} \left[\frac{a}{3b} \left(1 - \sqrt{1 + \frac{b^2}{a^2}} \right) + \frac{b^2}{3a^2} \left(1 - \sqrt{1 + \frac{a^2}{b^2}} \right) \right. \\ \left. + \ln \left(\sqrt{1 + \frac{b^2}{a^2}} + \frac{b}{a} \right) + \frac{b}{a} \ln \left(\sqrt{1 + \frac{a^2}{b^2}} + \frac{a}{b} \right) \right], \quad (19)$$

$$J_M = -\frac{2}{9} J_Q. \quad (20)$$

Анализ полученных результатов

Графики распределения вектора потока тепла по сечению канала, рассчитанные по формуле (16) при различных значениях его размеров, приведены на рис. 1–5. Из представленных рисунков видно, что при $a = b$ форма профиля вектора потока тепла близка к параболоиду вращения. В случае, когда $a/b \ll 1$ или $a/b \gg 1$ профиль вектора потока тепла принимает форму, близкую к параболическому цилиндру, что имеет место для каналов, стенки которых образованы двумя бесконечными параллельными плоскостями. Как видно из (19) и (20), значения J_Q и J_M не зависят непосредственно от значений a и b , а определяются их отношением. Значения J_Q и J_M , рассчитанные согласно (19) и (20) при различных отношениях a/b , приведены в таблице.

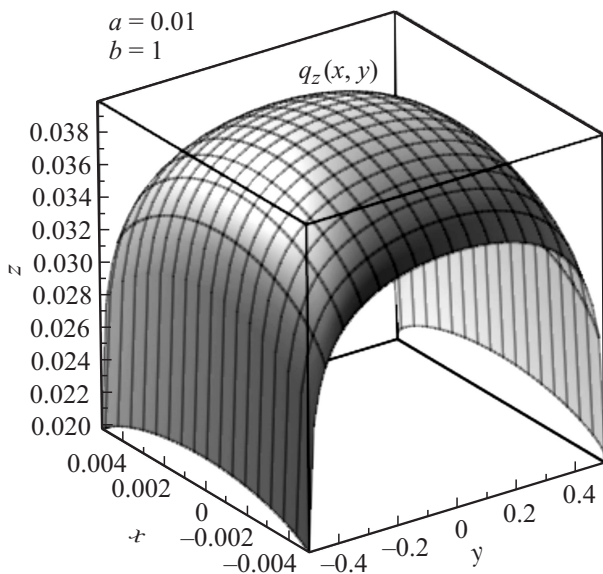


Рис. 1. Профиль вектора потока тепла при $a = 0.01, b = 1$.

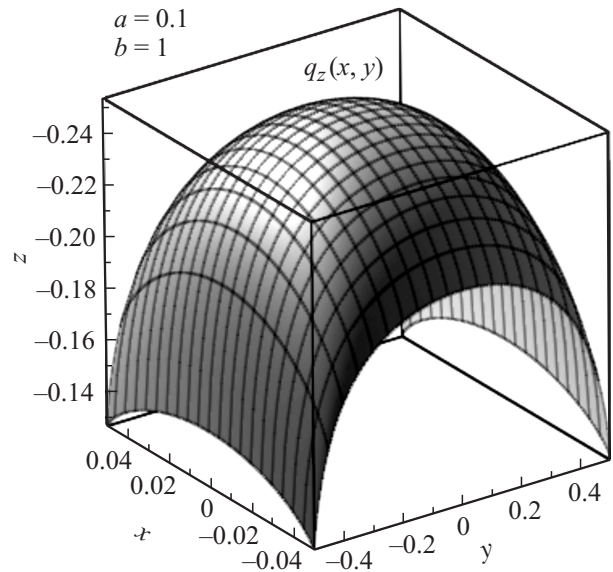


Рис. 2. Профиль вектора потока тепла при $a = 0.1, b = 1$.

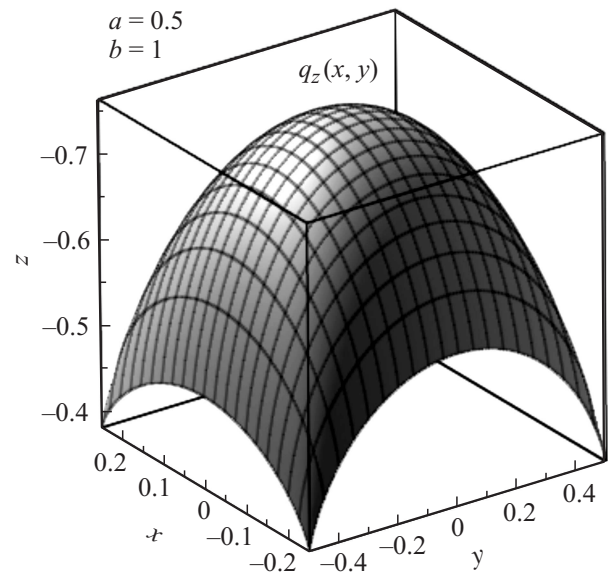


Рис. 3. Профиль вектора потока тепла при $a = 0.5, b = 1$.

Значения J_Q и J_M при различных значениях a/b

a/b	0.001	0.01	0.1	1.0	10.0
J_Q (14)	10.2839	7.3648	4.4794	1.8871	0.4479
J_M (16)	-2.2853	-1.6366	-0.9954	-0.4194	-0.0995

Для сравнения приведем значения, полученные в [5] с использованием модели Шахова и линеаризованного уравнения Больцмана для каналов с бесконечными параллельными стенками, расположенными на расстоянии 0.1 друг от друга. Для J_Q они равны 4.0546 и

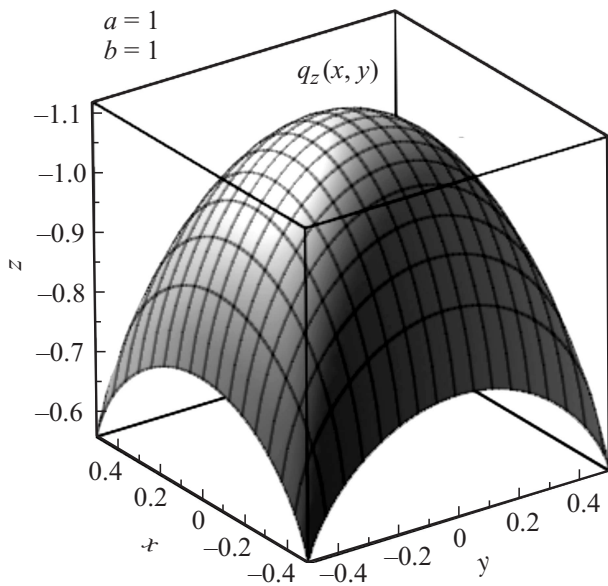


Рис. 4. Профиль вектора потока тепла при $a = 1, b = 1$.

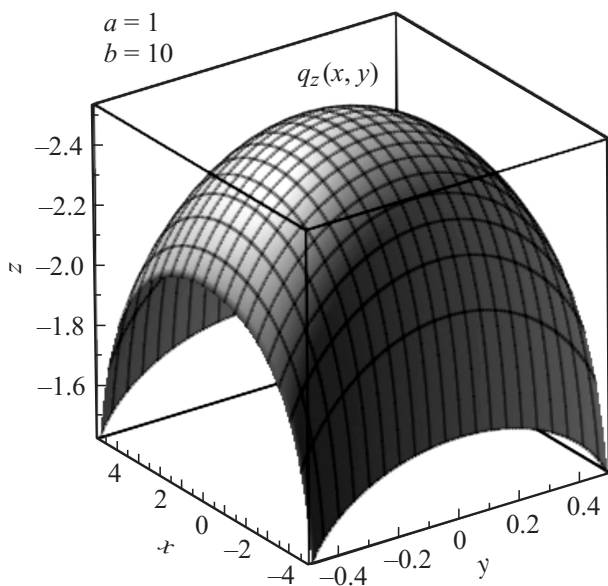


Рис. 5. Профиль вектора потока тепла при $a = 1, b = 10$.

3.8509, а для J_M соответственно -0.73268 и -0.79087 . Как видим, полученные в работе результаты хорошо согласуются с результатами, приведенными в [5]. Отличие обусловлено тем, что при $a = 0.1$ режим течения далек от свободномолекулярного. При $a/b \ll 1$ выражения (19) и (20) имеют логарифмические особенности $J_Q = -(9/4\sqrt{\pi}) \ln a$ и $J_M = (1/2\sqrt{\pi}) \ln a$, что также совпадает с аналогичными результатами, приведенными в [3], для каналов с бесконечными параллельными стенками.

Заключение

В настоящей работе решена задача о вычислении в свободномолекулярном режиме потоков массы газа и тепла в канале постоянного прямоугольного сечения. Построены профили массовой скорости газа и вектора потока тепла в канале. Вычислены удельные потоки массы газа и тепла через поперечное сечение канала. Показано, что в случае, когда один из размеров канала много меньше другого, полученные в работе результаты переходят в аналогичные результаты для каналов с бесконечными параллельными стенками.

Работа выполнена при частичном финансировании в рамках Государственного задания „Создание вычислительной инфраструктуры для решения наукоемких прикладных задач“ (Проект № 3628).

Список литературы

- [1] Кошмаров Ю.А., Рыжов Ю.А. Прикладная динамика разреженного газа. М.: Машиностроение, 1977. 184 с.
- [2] Ферцигер Дж., Капер Г. Математическая теория процессов переноса в газах. М.: Мир, 1976. 556 с.
- [3] Шарипов Ф.М., Селезнев В.Д. Движение разреженных газов в каналах и микроканалах. Екатеринбург: УрО РАН, 2008. 230 с.
- [4] Коган М.Н. Динамика разреженного газа. Кинетическая теория. М.: Наука, 1967. 440 с.
- [5] Siewert C.E. // Eur. J. Mech. B. Fluid. 2002. Vol. 21. P. 579–597.
- [6] Попов В., Юшканов А., Лукашев В. Математическое моделирование течений газа в каналах: монография. Saarbrücken: LAP LAMBERT Academic publishing, 2014. 116 с.
- [7] Титарев В.А., Шахов Е.М. // Журн. вычисл. матем. и матем. физ. 2010. Т. 50. № 7. С. 1285–1302.
- [8] Naris S., Valougeorgis D. // Eur. J. Mech. B. Fluid. 2008. Vol. 27. P. 810–822.
- [9] Siewert C.E., Valougeorgis D. // J. Quant. Spectrosc. Ra. 2002. Vol. 72. P. 531–550.
- [10] Taheri P., Bahrami M. // Phys. Rev. E. 2012. Vol. 86. P. 036 311.
- [11] Kamphorst C.H., Rodrigues P., Barichello L.B. // Appl. Math. 2014. Vol. 5. P. 1516–1527.
- [12] Титарев В.А., Шахов Е.М. // Журн. вычисл. матем. и матем. физ. 2006. Т. 46. № 3. С. 527–535.
- [13] Graur I., Sharipov F. // Eur. J. Mech. B. Fluid. 2008. Vol. 27. P. 335–345.
- [14] Завитаев Э.В., Юшканов А.А. // ЖТФ. 2005. Т. 75. Вып. 9. С. 3–9.
- [15] Курант Р. Уравнения с частными производными. М.: Мир, 1964. 830 с.